

# Magneto-Rayleigh-Taylor instability driven by a rotating magnetic field

Shu-Chao Duan<sup>a,b,\*</sup> *et al*

<sup>a</sup> *Institute of Fluid Physics, CAEP, P. O. Box 919-105, Mianyang 621999, China*

<sup>b</sup> *Department of Modern Physics, University of Science and Technology of China, Hefei 230026, China*

\*Corresponding author: [s.duan@163.com](mailto:s.duan@163.com)

套筒(liner)，厚度  $h$ ，外半径为  $a$ ，内半径为  $a-h$ 。柱坐标系。套筒内外均有磁场  $B_i = (0, B_{\phi i}, B_{zi})$  和  $B_o = (0, B_{\phi o}, B_{zo})$ 。在随体坐标系中，等效重力加速度为  $\mathbf{g}_r = g\mathbf{e}_r, g > 0$ 。力平衡条件

$$\rho gh = \frac{B_o^2 - B_i^2}{2} \equiv \frac{\Delta B^2}{2} \equiv p_m^+ - p_m^- \quad (1)$$

不可压流体近似。线性化的运动方程

$$\rho \ddot{\xi}^\pm - \rho g \partial_r \xi^\pm + \partial_r \delta p_m^\pm = 0. \quad (2)$$

真空区扰动磁场可以表示为  $\delta B = \nabla \psi$ ，它满足拉普拉斯方程  $\nabla^2 \psi = 0$ 。对于  $\phi$  和  $z$  因子是谐波的情形，其径向的解是修正 Bessel 函数。为了保持有限性，内区取第一类修正 Bessel 函数，外区取第二类修正 Bessel 函数。因此，内外区的扰动磁场为

$$\begin{aligned} \delta B_{ri} &= k C_i I'_-, \delta B_{\phi i} = \frac{im}{a} C_i I_-, \delta B_{zi} = ik C_i I_-, \\ \delta B_{ro} &= k C_o K', \delta B_{\phi o} = \frac{im}{a} C_o K, \delta B_{zo} = ik C_o K, \end{aligned} \quad (3)$$

其中记号

$$I_- \equiv I_m(k(a-h)), I'_- \equiv I'_m(k(a-h)), K \equiv K_m(ka), K' \equiv K'_m(ka), \quad (4)$$

并且导数是对宗量的。根据磁场平行于扰动界面的条件可以得出

$$C_i = \frac{imB_{\phi i} + ik(a-h)B_{zi}}{k(a-h)I'_-} \xi^-, C_o = \frac{imB_{\phi o} + ikaB_{zo}}{kaK'} \xi^+. \quad (5)$$

扰动界面上的磁压为  $\delta p_m = B_\phi \delta B_\phi - B_\phi^2 \xi / a + B_z \delta B_z$ ，内外界面处分别为

$$\delta p_m^- = \rho g f_I \xi^-, \delta p_m^+ = \rho g f_K \xi^+, \quad (6)$$

其中记号

$$f_I \equiv -\frac{2hq^2 B_i^2 I_- \cos^2 \theta_i}{k\Delta B^2 I'_-} - \frac{2hB_{\phi i}^2}{(a-h)\Delta B^2}, f_K \equiv -\frac{2hq^2 B_o^2 K \cos^2 \theta_o}{k\Delta B^2 K'} - \frac{2hB_{\phi o}^2}{a\Delta B^2}, \quad (7)$$

其中  $q = \sqrt{(m/a)^2 + k^2}$ ,  $\theta = \theta(t)$  是  $q$  与  $B$  之间的夹角。

代入方程(2)之后得到

$$\ddot{\xi}^- - g(1-f_I)\partial_r \xi^- = 0, \quad (8)$$

$$\ddot{\xi}^+ - g(1-f_K)\partial_r \xi^+ = 0. \quad (9)$$

由于  $\nabla \cdot \xi = \nabla \times \xi = 0$ , 所以其通解是

$$\xi = [AI_m(ka) + BK_m(ka)]e^{im\phi + ikz} \xi(t). \quad (10)$$

代入(8)(9)式, 得到关于 A、B 的代数方程。要求相应的行列式为零, 得出

$$\ddot{\xi}^2 + Rgk\ddot{\xi}\xi - Sg^2k^2\xi^2 = 0, \quad (11)$$

其中

$$R = -\frac{(1-f_I)(I'_-K - IK'_-) + (1-f_K)(I_-K' - I'K_-)}{I_-K - IK_-}, \quad (12)$$

$$S = -\frac{(1-f_I)(1-f_K)(I'_-K' - I'K'_-)}{I_-K - IK_-}.$$

前面(11)式即

$$(\ddot{\xi} - \gamma_+ gk\xi)(\ddot{\xi} - \gamma_- gk\xi) = 0, \quad (13)$$

其中

$$\gamma_{\pm} = -\frac{R}{2} \pm \sqrt{\frac{R^2}{4} + S}. \quad (14)$$

**WKB 的两种退化情况:**

**薄壳退化:** 若  $kh \rightarrow 0$  且  $h \rightarrow 0$ , 则

$$f_I \rightarrow -kh \frac{2q^2 B_i^2 I \cos^2 \theta_i}{k^2 \Delta B^2 I'} - kh \frac{2B_{\phi i}^2}{ka\Delta B^2} \rightarrow 0, \quad (15)$$

$$f_K = -kh \frac{2q^2 B_o^2 K \cos^2 \theta_o}{k^2 \Delta B^2 K'} - kh \frac{2B_{\phi o}^2}{ka\Delta B^2} \rightarrow 0,$$

$$\begin{aligned}
R &= -\frac{(I'_K - IK'_-) + (I'_K - I'_K_-)}{I'_K - IK_-} + \frac{(I'_K - IK'_-)}{I'_K - IK_-} f_I + \frac{(I'_K - I'_K_-)}{I'_K - IK_-} f_K \\
&\rightarrow \frac{1}{ka} + \frac{2q^2 B_i^2 I \cos^2 \theta_i}{k^2 \Delta B^2 I'} + \frac{2B_{\phi i}^2}{ka \Delta B^2} - \frac{2q^2 B_o^2 K \cos^2 \theta_o}{k^2 \Delta B^2 K'} - \frac{2B_{\phi o}^2}{ka \Delta B^2} \\
&= \frac{2q^2 B_i^2 I \cos^2 \theta_i}{k^2 \Delta B^2 I'} - \frac{2q^2 B_o^2 K \cos^2 \theta_o}{k^2 \Delta B^2 K'} + \frac{B_{\phi i}^2 + B_{z o}^2 - B_{\phi o}^2 - B_{z i}^2}{ka \Delta B^2}, \\
S &\rightarrow -\frac{(I'_K - I'_K_-)}{I'_K - IK_-} \rightarrow \frac{q^2}{k^2}.
\end{aligned} \tag{16}$$

若内部无磁场，并取 WKB 近似，则(11)式与 Ryutov 的 WKB 结果 (36)式一致。

**平板退化：**若  $a \rightarrow \infty$ ，并取 WKB 近似，则  $R$  和  $S$  退化成 Lau 的(7)式。若进一步内部无磁场，则(11)式退化成 Harris 的(26)式，即

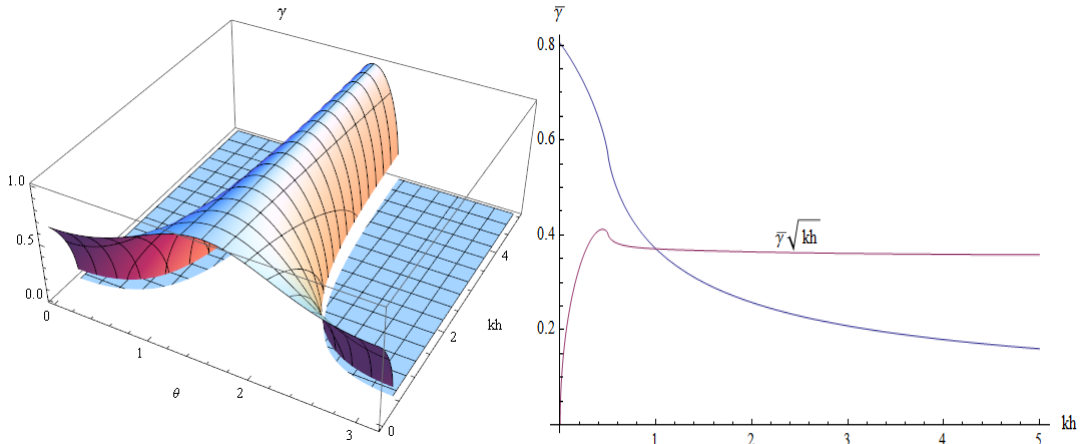
$$\Gamma_{1,2}^2 = \gamma_+ gk, \Gamma_{3,4}^2 = \gamma_- gk, \tag{17}$$

$$\gamma_{\pm} = -\frac{R}{2} \pm \sqrt{\frac{R^2}{4} + S}, \tag{18}$$

$$R = 2kh \coth(kh) \cos^2 \theta, S = 1 - 2kh \cos^2 \theta, \tag{19}$$

其中  $\theta$  为旋转磁场  $B(t)$  与波矢  $k=(kx, ky, 0)$  之间夹角  $\theta(t) = \omega_b t + \theta_0$ 。恒有  $R \geq 0, \frac{R^2}{4} + S \geq 0$ ，因此  $\gamma_-$  恒负，是振荡模式。仅当  $S > 0$  时， $\Gamma_{1,2}^2 > 0$ ，存在不稳定的正根，因此定义增长率  $\Gamma = \sqrt{\max(0, \Gamma_{1,2}^2)}$ ，及归一化增长率  $\gamma = \Gamma / \sqrt{gk} = \sqrt{\max(0, \gamma_+)}$ 。

若磁场方向的旋转频率  $\omega_b \ll \Gamma$ ，则在  $T \gg 2\pi / \omega_b$  的时间尺度上，每个模式  $\bar{k} \equiv (k, \theta)$  都感受到一个与  $\theta$  无关的平均增长率  $\bar{\Gamma} = \langle \Gamma \rangle_{\theta}$  及归一化平均增长率  $\bar{\gamma} = \langle \gamma \rangle_{\theta}$ 。下图依次是  $\gamma$  和  $\bar{\gamma}$ ：

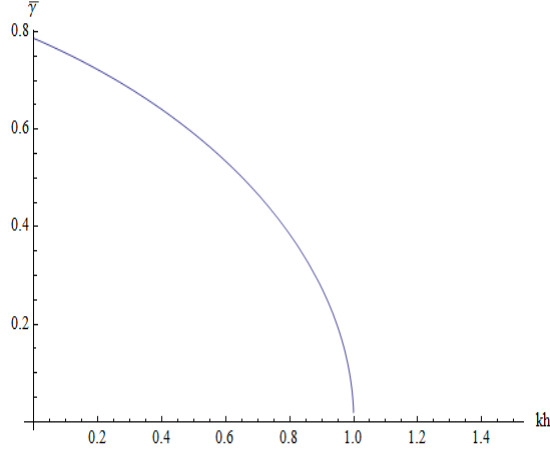


其右端极限： $kh \rightarrow \infty$  时， $\bar{\gamma} \rightarrow \frac{\sqrt{2}}{4} / \sqrt{kh}$ ，即  $\bar{\Gamma} \rightarrow \frac{\sqrt{2}}{4} \sqrt{g/h}$ 。

其左端极限： $kh \rightarrow 0$  时， $\bar{\gamma} \rightarrow 0.8041731875209983 < 1$ ，表明即使在最左端亦存在抑制作用。

极大值出现在： $kh = 0.44329236527950494$  时， $\bar{\Gamma} = 0.4122332114675114\sqrt{g/h}$ 。

若  $\omega_b \gg \Gamma$ ，则在  $T \gg 2\pi/\omega_b$  的时间尺度上，感受到的是平均值  $\bar{R} = \langle R \rangle_\theta, \bar{S} = \langle S \rangle_\theta$ ，将  $R, S$  的表式中的  $\cos^2\theta$  替换为  $1/2$  即得到  $\bar{R}, \bar{S}$  的表式，进而得到  $\bar{\Gamma}$  及  $\bar{\gamma}$  的表式。

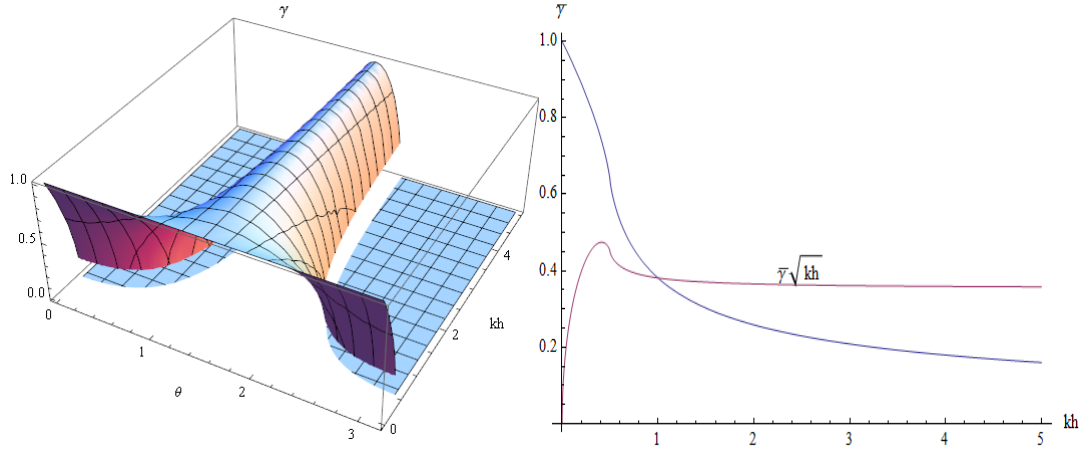


其左端极限是  $\sqrt{\frac{\sqrt{5}-1}{2}} = 0.7861513777574233$ 。 $kh \geq 1$  的模式完全致稳。

归一化增长率既代表了对经典解  $\sqrt{gk}$  的相对值，因此可以看出，在  $T > 2\pi/\Gamma$  的时间尺度上，磁场方向旋转对所有模式都有抑制作用，这可能表明， $\ominus$  箍缩和  $Z$  箍缩交替进行的构型可能有助于抑制 MRT。归一化增长率又代表了对于在固定加速度  $g$  驱动下的某一固定模式，例如  $g=1, k=1$ ，增长率随厚度的依赖关系，这时将横轴理解为绝对厚度  $h$ ，因此可以看出厚度具有单调的抑制作用，而且，只要足够厚，可以抑制到任意程度，没有饱和。若总质量固定， $\rho \downarrow$ ，则  $h \uparrow$ ，则增长率单调下降，表明低密度实心套筒有助于抑制 MRT。

这些结果能退化至半无限平面即无限厚的结果。 $kh \rightarrow \infty$ ，则  $R \rightarrow 2kh \cos^2 \theta, S = 1 - 2kh \cos^2 \theta$ ，

因此  $\Gamma_{1,2}^2 = gk - 2ghk^2 \cos^2 \theta = gk - V_A^2 k^2 \cos^2 \theta$ ：

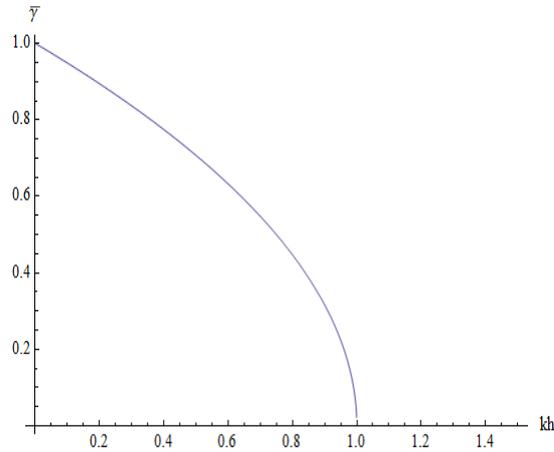


其右端极限： $kh \rightarrow \infty$  时， $\bar{\gamma} \rightarrow \frac{\sqrt{2}}{4} / \sqrt{kh}$ ，即  $\bar{\Gamma} \rightarrow \frac{\sqrt{2}}{4} \sqrt{g/h}$ 。不变。

其左端极限： $kh \rightarrow 0$  时， $\bar{\gamma} \rightarrow 1$ 。上移。

极大值出现在： $kh = 0.41305738494835587$  时， $\bar{\Gamma} = 0.47483176886636336 \sqrt{g/h}$ 。左移，上移。

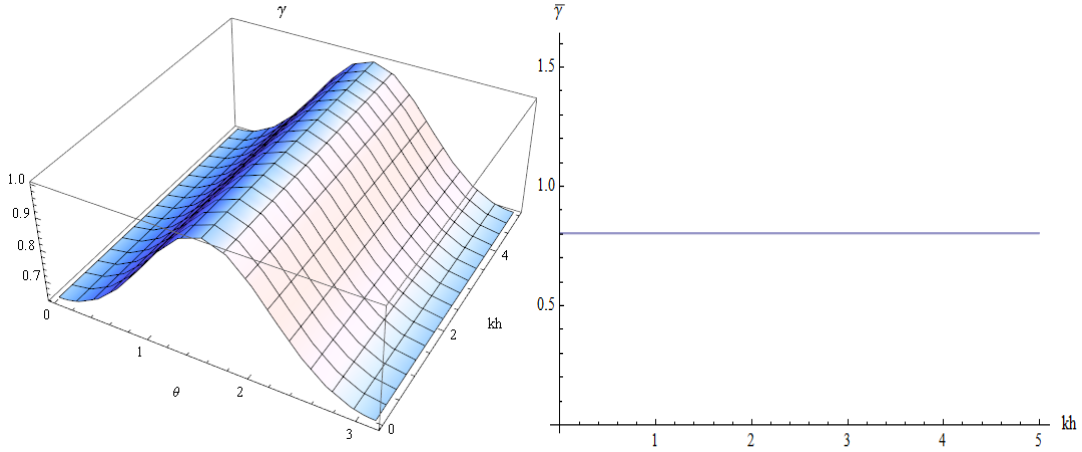
若  $\omega_b \gg \Gamma$ ，则将  $\cos^2 \theta$  替换为  $1/2$  即得到  $\Gamma_{1,2}^2 = gk - ghk^2 = gk - \frac{1}{2} V_A^2 k^2$ ：



$kh \geq 1$  的模式完全致稳。右端不变。

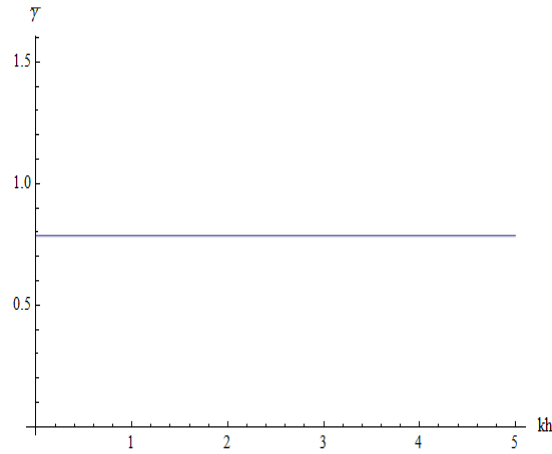
需要注意的是这些结果仅右端有意义，因为左端与前提条件  $kh \rightarrow \infty$  不一致。

若退化至无限薄， $kh \rightarrow 0$ ，则  $R \rightarrow 2 \cos^2 \theta, S \rightarrow 1$ ，因此  $\Gamma = \sqrt{-\cos^2 \theta + \sqrt{1 + \cos^4 \theta}} \sqrt{gk}$ ：



即原来结果的左端极限:  $\bar{\Gamma} = 0.8041731875209983\sqrt{gk}$ 。

若  $\omega_b \gg \Gamma$ , 则将  $\cos^2\theta$  替换为  $1/2$  即得到  $\bar{\Gamma} = \sqrt{\frac{\sqrt{5}-1}{2}}\sqrt{gk} = 0.7861513777574233\sqrt{gk}$ , 即原来结果的左端极限。



需要注意的是这些结果仅左端有意义, 因为右端与前提条件  $kh \rightarrow 0$  不一致。

### 平板 non-WKB:

取  $a \rightarrow \infty$  极限, 并假定仅驱动侧有磁场, 则

$$R = 2kh \coth(kh) \cos^2 \theta, S = 1 - 2kh \cos^2 \theta, \quad (20)$$

其中  $\theta$  为旋转磁场  $B(t)$  与波矢  $k=(kx, ky, 0)$  之间夹角  $\theta(t) = \omega_b t + \theta_0$ 。恒有  $R \geq 0, \frac{R^2}{4} + S \geq 0$ , 因此

$\gamma_- = -\frac{R}{2} - \sqrt{\frac{R^2}{4} + S}$  恒负, 是振荡模式, 认为/假定这个模式最终全被其他耗散机制衰减掉, 舍去不

予考虑, 仅考虑  $\gamma_+ = -\frac{R}{2} + \sqrt{\frac{R^2}{4} + S}$  一支:

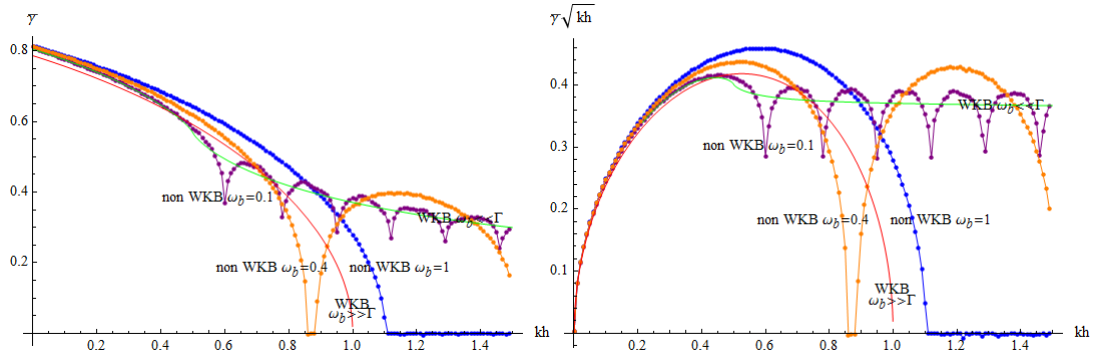
$$(\ddot{\xi} - \gamma_+ g k \xi) = 0. \quad (21)$$

将时间用  $1/\sqrt{gk}$  归一化, 增长率用  $\sqrt{gk}$  归一化, 磁场方向的旋转频率用  $\sqrt{g/h}$  归一化, 波矢用  $1/h$  归一化, 则(20)、(21)变为:

$$R = 2k \coth(k) \cos^2(\omega_b t / \sqrt{k} + \theta_0), S = 1 - 2k \cos^2(\omega_b t / \sqrt{k} + \theta_0), \quad (22)$$

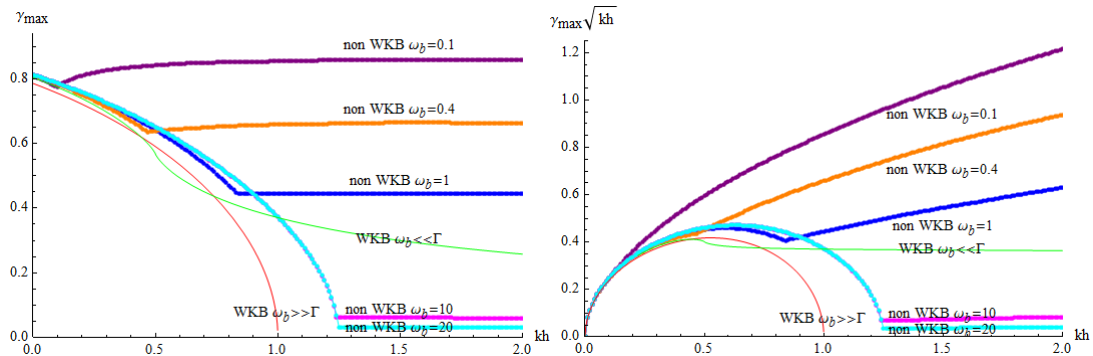
$$(\ddot{\xi} - \gamma_+ \xi) = 0. \quad (23)$$

初始条件取  $\xi(0) = \xi_0, \xi'(0) = 0$ , 数值积分(23)式至一非常大的时刻  $t_f$ , 例如 200。定义归一化平均增长率  $\bar{\gamma} = \ln(|\xi(t_f)|/|\xi_0|)/t_f$ , 这样定义的增长率与  $\theta_0$  无关。  $\omega_b = 0.1, 1, 10$  的结果为:

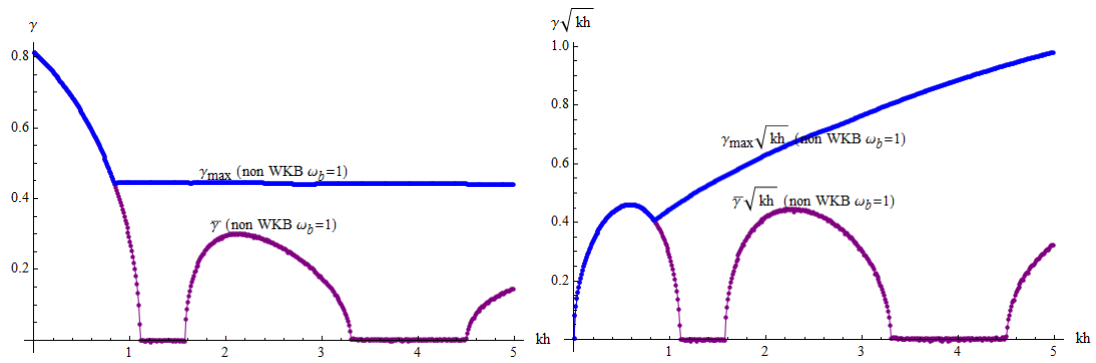


低频时退化至 WKB 低频结果。高频时, 随着频率升高, 第一拱门(arch)右止点右移、下移 (直到 0), 拱顶位置右移、上移。第一拱门右止点位置, 尽管右移, 似乎存在一个饱和趋近值  $\sim 1.25$ 。第一拱门拱顶位置, 尽管右移、上移, 似乎也存在饱和趋近值: 峰位  $\sim 0.63$ 、峰值  $\sim 0.47$ 。高频时, 第二拱门左起点位置近似有  $k \approx \omega_b^2$ , 例如  $\omega_b = 2, 3, 5, 10$  的第二拱门左起点位置近似为  $k \approx 4, 9, 25, 100$ 。第一拱门右止点与第二拱门左起点之间均是被完全抑制的。右边还有更多高度差不多的拱门, 但可以合理地假定它们能够被某种耗散机制衰减掉, 耗散对高模数非常有效。

前述 (归一化) 平均增长率对于长时间尺度的度量是恰当的, 但对于短时间尺度的度量未必适用, 这时可以定义归一化最大增长率  $\gamma_{\max} = \max_{\theta_0 \in [0, 2\pi], t \in [0, t_f]} \{\ln(|\xi(t)|/|\xi_0|)/t\}$ 。



$\bar{\gamma}$  与  $\gamma_{\max}$  的比较, 以  $\omega_b = 1$  为例:



.....

### Reference

- [1] E. G. Harris. *Physics of Fluids* **5**(9), 1057 (1962).
- [2] Y. Y. Lau, et al. *P. R. E.* **83**, 066405 (2011).
- [3] D. D. Ryutov, M. S. Derzon, M. K. Matzen. *Rev. Mod. Phys.* **72**(1), 167 (2000);
- [4] D. D. Ryutov, M. A. Dorf. *Physics of Plasmas* **21**, 112704 (2014).